

Journal Homepage: -www.journalijar.com

INTERNATIONAL JOURNAL OF ADVANCED RESEARCH (IJAR)

OVANCED RESEARCH (IJAR
Article DOI:10.21474/IJAR01/21395
DOI URL: http://dx.doi.org/10.21474/IJAR01/21395



RESEARCH ARTICLE

DOBLETE CEMENTADO Y PATRONES DE DIFRACCIÓN DE TRANSFORMADA DE FOURIER DE FRECUENCIAS ESPACIALES MAXIMAS.

CEMENTED DOUBLET LENS AND DIFFRACTION PATTERNS OF THE MAXIMUN SPATIAL FREQUENCIES OF THE FOURIER TRANSFORM

Esteban Andres Zarate and Quintiliano Angulo Cordova

.....

1. Division Academica de Ciencias Basicas, Universidad Juarez Autónoma de Tabasco, Cunduacan, Tabasco, Mexico.

Manuscript Info

Manuscript History

Received: 12 May 2025 Final Accepted: 15 June 2025 Published: July 2025

Key words: -

doublet cemented lens, angular spectrum, diffraction, maximum spatial frequencies

Abstract

In this research, with the incorporation of propagation method concepts of the angular spectrum, and considering the effect produced by the finite apertures of a transforming lens/cemented doublet spherical lens on the amplitude distribution of the diffracted electric field which influences on it, produced by an extended object illuminated with plane waves; the diffraction mathematical model of the Fourier transform of the maximumspatial frequencies was obtained. The experimental results are presented; they are based on diffraction pattern images in intensity distribution engraving in specific conditions through the photographic method and using rectangular geometry apertures as diffractor objects

.....

"© 2025 by the Author(s). Published by IJAR under CC BY 4.0. Unrestricted use allowed with credit to the author."

Introduction: -

El fenómeno de difracción ocurre donde quiera que un frente de onda electromagnetica es obstruido, es decir, si en el transcurso de su trayectoria de propagación interacciona con objetos opacos o transparentes, se alteran porciones de dicho frente en amplitud o en fase. Los diferentes segmentos del frente de onda que se propagan mas alla del objeto u objetos interfieren y producen una densidad de energía particular, cuya distribución espacial de intensidad se denomina patrón de difracción Zarate, (2011).Debido a la extensiónfinita de la pupilaasociada a una lente esferica o transformadora, existen dos problemas principales, elefecto de viñeteado y la capacidad de ropaga rfrecuenciasesp acialesmayores a un valor particular, que surgenen la propagación del campo de difracción, al incidiren la lente transformadora. Zarate y Cornejo, (2011) publicaronunasoluciónaestosproblemas, a traves de unafunción de amplituddefinidacomouna integral de convolución de frecuenciasespacialesmaximas, distribuidaen un plano a la entrada de una lente esferica. Se reporta el analisis de la propagación del campo de difracción de frecuenciasespacial esmaximas, a traves de un dobletecementado o lente transformadora; asícomosupropagación hasta el plano enel que finalmente se distribuye.

Corresponding Author: -Esteban Andrés Zarate

Address: -Division Académica de Ciencias Basicas, Universidad Juarez Autonoma de

ticaFisiológica, s con las relacionesentre frecuencias de corte y límites de resolución que se utilizanen ambas disciplinas; ademasmuestranunaaplicación de la teoría de Fourier eneldiseñoóptico de microscopioslimitadosporproducción y otraenpruebas de la calidad visual ensensibilidad al contraste. Zarate, (2011) ensutrabajo de Tesis doctoral dioreferencia al uso de un dobletecementadocomo lente transformadora y frecuenciasespacialesparaxiales. Zarate et al (2019)reportaron un analisisteórico de propagaciónmedianteelmetodo del espectro angular y la producciónen forma experimental de patrones de difracción con frecuenciasespacialesparaxiales, de distribución de irradianciatipo Bessel de orden cero y de primer orden. Los autores antes referidos no proporcionaninformaciónrespecto a frecuenciasmaximas.

Descripción del metodo: -

Se haceuso del metodo de propagación del espectro angular para producirelmodelomatematico de difracción. Para esto, se consideraunaabertura o un objetodifractordelgadocomo se ilustraen la figura 1. Zarate y Cornejo, (2011) establecieron que la distribución del campo difractadoporelobjeto es:

$$E_1(x_0, y_0) = E_0 t_0(x_0, y_0) \tag{1}$$

Mientras que la propagación del campo hasta el plano xy justo a la entrada del doblete cementado tomaron en cuenta la aceptación de una frecuencia espacial de valor maximo, producida por la sección eficaz finita de la lente esferica transformadora, tiene una distribución de amplitud descrita por la expresión,

$$E_{d0}(x,y) = \frac{E_0 e^{ik \, d_0}}{i\lambda \, d_0} e^{\frac{ik}{2d_0}(x^2 + y^2)} \int_{-\infty}^{\infty} \int_{-\infty}^{\infty} t_0(x_0, y_0) e^{\frac{ik}{2d_0}(x^2 + y^2)} e^{-i2\pi(u_{max} \, x_0 + v_{max} \, y_0)} dx_0 dy_0 \quad (2)$$

Zarate y Cornejo, (2011) propusieron que $(x + x_2) << d_{0}$ y $(y + y_2) << d_{0}$, entonces las frecuencias espaciales maximas se escriben en terminos de las frecuencias espaciales paraxiales $\frac{x}{\lambda d_0}$ y $\frac{y}{\lambda d_0}$; y las frecuencias espaciales no paraxiales $\frac{x_2}{\lambda d_0}$ y $\frac{y_2}{\lambda d_0}$, en la forma:

$$u_{max} = \frac{x}{\lambda d_0} + \frac{x_2}{\lambda d_0}$$
 (3), $v_{max} = \frac{y}{\lambda d_0} + \frac{y_2}{\lambda d_0}$.(3)

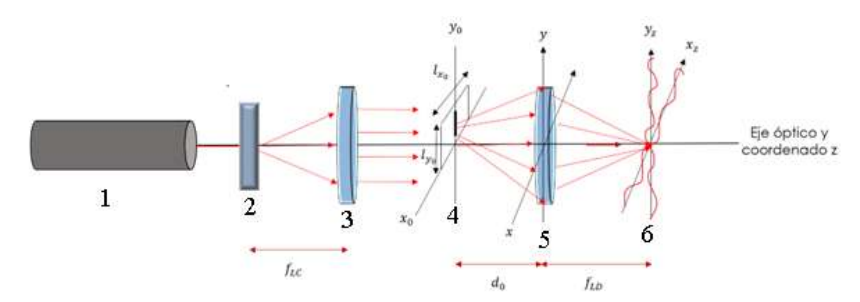


Figura 1. Esquema óptico: 1) Láser, 2) filtro, 3) colimador, 4) objeto difractor, 5) lente trasformadora, 6) plano de distribución.

En su trabajo de Tesis Doctoral de Zarate, (2011) estableció que la distribución de amplitud del campo difractado y propagado a traves del doblete cementado, bajo la condición de que la forma geometrica asociada a la lente transformadora sea $circ\left[\frac{\sqrt{x^2+y^2}}{a}\right]=1$ y que ademas no posea aberraciones, es decir que la función de aberración sea W(x,y)=0, puede ser descrita con la siguiente ecuación:

$$E_{l}(x,y) = \frac{E_{0}e^{ik[f_{LD}+n_{L1}\Delta_{0L1}+n_{o2}\Delta_{0L2}]}}{i\lambda d_{0}f_{LD}}e^{ik\left(\frac{x^{2}+y^{2}}{2}\right)\left(\frac{1}{d_{0}}-\frac{1}{f_{LD}}\right)}.$$

$$\int_{-\infty}^{\infty} \int_{-\infty}^{\infty} t_{0}(x_{0},y_{0})e^{\frac{ik}{2d_{0}}\left(x_{0}^{2}+y_{0}^{2}\right)}e^{-i2\pi[u_{max}\ x_{0}+v_{max}\ y_{0}]}dx_{0}dy_{0} \tag{4}$$

Mientras que, el campo propagado una distancia Zdel plano xy al plano x_zy_z en el que se distribuye definitivamente, despues de operar y separar la dependencia de x, y y x_0 , y_0 de se obtiene la expresión:

$$E_{z}(x_{z}, y_{z}) = \frac{E_{0}e^{ik[d_{0}+z+n_{L1}\Delta_{L1}+n_{L2}\Delta_{L2}]}e^{\frac{ik}{2z}(x_{z}^{2}+y_{z}^{2})}}{i^{2}\lambda^{2}zd_{0}}e^{\frac{ik}{2d_{0}}(x_{0}^{2}+y_{0}^{2})}e^{-i2\pi\left(\frac{x_{2}}{\lambda d_{0}}x_{0}+\frac{y_{2}}{\lambda d_{0}}y_{0}\right)}dx_{0}dy_{0}$$

$$\cdot \int_{-\infty}^{\infty} \int_{-\infty}^{\infty}e^{\frac{ik}{2}(x^{2}+y^{2})\left(\frac{1}{d_{0}}+\frac{1}{z}-\frac{1}{f}\right)}e^{-i2\pi\left[\left(\frac{x}{\lambda d_{0}}+\frac{x_{z}}{\lambda z}\right)x+\left(\frac{y}{\lambda d_{0}}+\frac{y_{z}}{\lambda z}\right)y\right]}dxdy (5)$$

Para realizar la integración se propone losaspectossiguientes $u_2 = \left(\frac{x_0}{\lambda d_0} + \frac{x_z}{\lambda z}\right)$, $v_2 = \left(\frac{y_0}{\lambda d_0} + \frac{y_z}{\lambda z}\right)$, $d_0 = f_{LD}$ así como la ecuación integral $\int_{-\infty}^{\infty} e^{-\alpha x^2 - \beta x} dx = \sqrt{\frac{\pi}{\alpha}} e^{\frac{\beta^2}{4\alpha}}$ Spiegel, (1980). Despues de realizar operaciones y de simplificar se determina la ecuación siguiente:

$$E_{z}(x_{z}, y_{z}) = \left[\frac{E_{0}e^{ik[f_{LD}+z+n_{L1}\Delta_{L1}+n_{L2}\Delta_{L2}]}}{i\lambda f_{LD}}\right]e^{\frac{ik}{2z}(x_{z}^{2}+y_{z}^{2})}$$

$$\int_{-\infty}^{\infty} \int_{-\infty}^{\infty} t_{0}(x_{0}, y_{0}) e^{\frac{ik}{2f_{LD}}(x_{0}^{2}+y_{0}^{2})\left(1-\frac{z}{f_{LD}}\right)}e^{-i2\pi\left(\frac{x_{2}}{\lambda f_{LD}}+\frac{x_{z}}{\lambda z}\right)x_{0}+\left(\frac{y_{2}}{\lambda f_{LD}}+\frac{y_{z}}{\lambda z}\right)y_{0}}dx_{0}dy_{0}$$
(6)

Utilizando las frecuenciasespaciales maximas definidas como $u_{max} = \left(\frac{x_2}{\lambda f_{LD}} + \frac{x_z}{\lambda z}\right)$ y $v_{max} = \left(\frac{y_2}{\lambda f_{LD}} + \frac{y_z}{\lambda z}\right)$ la ecuación (7) se reescribe en la forma:

$$G_{z}(u_{max}, v_{max}) = \frac{E_{0}e^{ik[f_{LD}+z+n_{L1}\Delta_{L1}+n_{L2}\Delta_{L2}]}}{i\lambda f_{LD}}e^{\frac{ik}{2z}(x_{z}^{2}+y_{z}^{2})}\Im\left\{t_{0}(x_{0}, y_{0})e^{\frac{ik}{2f_{LD}}(x_{0}^{2}+y_{0}^{2})\left(1-\frac{z}{f_{LD}}\right)}\right\}_{u_{max}, v_{max}}.$$
(7)

Proponiendoahora que la distribución del campo $G_z(u_{max}, v_{max})$ se realice a la distancia focal posterior del dobletecementado, es decir $z=f_{LD}$, se tendra que la transformada de Fourier del producto de funciones es la

convolución de ellas, esto es $[\Im\{t_0(x_0y_0)\} \otimes \Im(1,1)]_{u_{max},v_{max}} = \Im\{t_0(x_0y_0)\} \otimes \delta(u_{max},v_{max}) = \Im\{t_0(x_0y_0)\}$ Gaskill, (1978), conestascondicionespodemosexpresar a la ecuación (8) como:

$$G_{z}(u_{max}, v_{max}) = \frac{E_{0}e^{ik[2f_{LD}+n_{L1}\Delta_{L1}+n_{L2}\Delta_{L2}]}}{i\lambda f_{LD}}e^{\frac{ik}{2z}(x_{z}^{2}+y_{z}^{2})}\Im\{t_{0}(x_{0}y_{0})\}_{u_{max}, v_{max}}$$
(8)

La ecuación (8) se interpretacomoelespectro de difracción de transformada de Fourier de la función de transmitancia $t_0(x_0y_0)$ asociada al objeto difractor, con distribución en el espacio de Fourier de frecuencias maximas u_{max} , v_{max} . Se ha propagado desde el plano objeto una longitud de camino óptico dado por la siguiente expresión $2f_{LD}+n_{L1}\Delta_{L1}+n_{L2}\Delta_{L2}$; ademas su distribución esferica de fase dada por el exponente del factor $e^{\frac{ik}{2z}(x_z^2+y_z^2)}$ y esta desfasado en $\frac{\pi}{2}$ radianes.

Resulta dosteóricos: -

Para obtener resulta dosteóricos específicos la forma funcional del modelo de difracción para elcasodondeconsideramosunaabertura rectangular de base l_x , altura l_y y de un pequeño espesor l_z figura 2, se utiliza la función rectangular: $t_0(x_0y_0) = l_z \left[\left(l_y rect\left(\frac{x_0}{l_x}\right) \right) \left(l_x rect\left(\frac{y_0}{l_y}\right) \right) \right]$, donde de acuerdo con su definición la podemos expresar de la siguiente forma Gaskill, (1978):

$$t_{0}(x_{0}, y_{0}) = rect\left(\frac{x_{0}}{l_{x}}, \frac{y_{0}}{l_{y}}\right) = \begin{cases} 1, & si - \frac{l_{x}}{2} \leq x_{0} \leq \frac{l_{x}}{2}, -\frac{l_{y}}{2} \leq y_{0} \leq \frac{l_{y}}{2} \\ \frac{1}{2}, & si |x_{0}| = \frac{l_{x}}{2}, \dots, |y_{0}| = \frac{l_{y}}{2} \\ 0, & en \ otrolado. \end{cases}$$
(9)

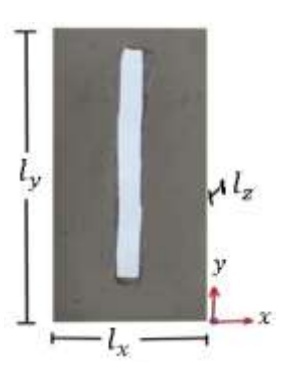


Figura 2. Abertura rectangular.

La transformada de Fourier bidimensional se determinausandoelteorema de escalamientoquedandoen la forma $\Im\{t_0(x_0y_0)\}_{u_{max},v_{max}} = l_z[l_yl_x\sin c(l_xu_{max})][l_xl_y\sin c(l_yv_{max})]$ Gaskill, (1978). Al sustituir este resultado en la ecuación (8) se determina la expresión:

$$G_{z}(u_{max}, v_{max}) = \frac{E_{0}l_{z}(l_{x}l_{y})^{2}e^{ik[2f_{LD}+n_{L1}\Delta_{L1}+n_{L2}\Delta_{L2}]}}{i\lambda f_{LD}}e^{\frac{ik}{2z}(x_{z}^{2}+y_{z}^{2})}\sin c(l_{x}u_{max}, l_{y}v_{max})$$
(10)

La distribución del campo de difracción en el espacio de frecuencias espaciales es una función seno cociente distribuida en el espacio de frecuencias espaciales maximas definida por la ecuación (11). La distribución de intensidad es:

$$I_{Z}(u,v) = \left(\frac{E_{0}l_{z}}{\lambda f_{LD}}\right)^{2} \left(l_{x}l_{y}\right)^{4} \left[\sin c^{2}(l_{x}u_{max}, l_{y}v_{max})\right]$$
(11)

Resulta dos experimentales: -

Para comprobarelmodelomatematico de intensidadecuación (11), se hizouso del metodo experimental mediante la implementación del arregloópticocoherenteilustradoen la figura 3, que se describe en la forma siguiente: elhaz de luz de laser de He-Ne (λ= 632nm) proveniente de la cavidad (1), es ampliado y filtrado de ruidoópticoen (2) con un lente objetivo de microscopio 40x y un pinhole de 50μm de diametro. Despues el haz se propaga e incide sobre la lente colimadora (3), el cual es un doblete cementado de 25 cm de distancia focal, produciendose aquí frentes de ondas planas, con una amplitud constante; mismos que iluminan al objeto difractor (4). Las ondas de luz difractadas por el objeto se propagan hasta incidir sobre la lente transformadora (5), que tambien es un doblete acromatico cementado de distancia focal 30cm; mismo que propaga el campo de ondasdifractado hasta el plano de distribución (6) enelcual se distribuye y fotografíaelpatrón de difracciónenintensidad.

Se usarontresaberturasrectangularescomoobjetosdifractorescomo se muestraen la figura 2, con elmismoespesor $l_z = 0.5$ mm, fabricadas a mano en lamina de aluminio. La imagen de la figura 4 corresponde al patrón de difracción producido por una abertura rectangular con dimensiones lineales $l_x = 2$ mm de ancho y $l_y = 3$ cm de altura, a la distancia focal de $f_{LD} = 30$ cm del doblete cementado, con un tiempo de exposición de (1/4000)s. En tanto que la imagen de la figura 5, es la del patrón de difracción en distribución de intensidad, de una segunda abertura rectangular con dimensiones lineales $l_x = 8$ mm de ancho y de altura $l_y = 3$ cm, el tiempo de exposición fue tambien de (1/4000)s. La imagen de la figura 6 corresponde al patrón de difracción producido por una tercera abertura rectangular cuyas dimensiones lineales fueron $l_x = 3$ cm de ancho y de altura $l_y = 3$ cm, el tiempo de exposición fue tambien de (1/4000)s. Cada patrón de difracción en distribución de intensidad fue grabado haciendo uso del metodo fotografico con camara electrónica de 18 megapíxeles.

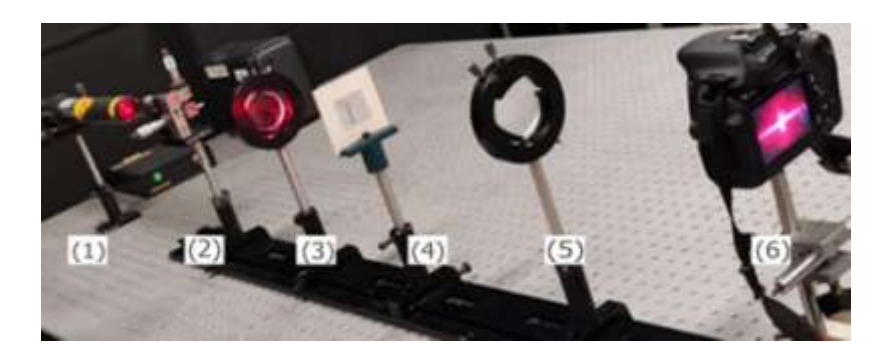


Figura 3. Arreglo óptico experimental: 1) Láser, 2) filtro, 3) colimador, 4) objeto difractor, 5) lente trasformadora, 6) plano de distribución.



Figura 4, 5, 6. Patrones de difracción producidos con aberturas rectangulares de ancho $l_x = 2mm$; $l_x = 8mm$ y $l_x = 3cm$ respectivamente, con misma altura $l_y = 3cm$ y mismo espesor $l_z = 0.5mm$.

Conclusiones: -

El resultadoteóricorelevante es habersimplificado la distribución de amplitud del campo electricoasociado a las ondasdifractadasdefinidopor la ecuación (5), comounadistribución de amplitudenelespacio de Fourier frecuenciasespacialesmaximasverecuación (8) y a suvez, ser interpretadocomo un caso especial de convolución de transformadasdefinidopor la transformada de Fourier de la función de transmitanciaasociada al objetodifractor. Este resultadodemuestra la necesidad de realizarunaetapa de simulación para resolver elproblema de forma mascomplete

En lo que respecta a losresultadosexperimentales, las imagenes de cadapatrónendistribución de intensidadFiguras 4, 5 y 6 proporcionaninformaciónrelevante, una de ellas es que conformeel ancho de cadaabertura rectangular comoobjetodifractorvacreciendolosmaximos y mínimossecundarios van disminuyendo, persistiendolosmaximoscentrales y algunosmaximos y mínimossecundariospróximos a loscentrales. Otroaspecto que resultarelevante es que a losobjetosdifractores se les asocióunafunciónmatematica, peroellos no poseengeometría rectangular perfecta, ya que fueronproducidos de forma manual y no con un metodo de fracturado especial. Resultainteresante que las deformaciones que muestra la distribución de las franjas de maxima y mínimainten sida dpermit envisualizarlos defectos de la aberturaen sus dimensioneslineales.

Referencias: -

- 1. Zarate E. A. (2011), Estudio de patrones de difracciónen la evaluación de Aberturas (Tesis Doctoral). Instituto Nacional de Astrofísica, Óptica y Electrónica, Santa Mara Tonantzintla, Puebla, Mexico. 5-190.
- 2. Zarate Esteban Andres, Cornejo Rodríguez Alejandro (2011), La abertura de una lente, su efecto en el espectro de difracción, frecuencia espacial y viñeteado. Revista Mexicana de Física. 57, 491-498.
- 3. Camestri S. A., Simon J. M., Martin G., Colombo E., Issolio L., Santillan J., Aguirre R. (207), Definición y uso de frecuencias espaciales en Óptica de Fourier y en Óptica Fisiológica, Óptica pura y aplicada40(1), 119-128.
- 4. Zarate Esteban Andres, Angulo Córdova Quintiliano, Gutierrez Tepach Gerardo, y Hernandez Nolasco Jose Adan (2019), Modelo matematico de difracción en región convergente y divergente de una lente esferica. Revista Mexicana de Física 65, 299-306.
- 5. Spiegel Murray R. (1980), Calculo superior, McGraw-Hill.
- 6. Gaskill Jack. D. (1978), Linear systems Fourier transforms and optics, John Wiley and Sons, 150-217